

Таким образом, можно сделать вывод, что в рамках указанных приближений учет столкновений атомов активной среды ведет к росту порогового значения разности населенностей для обеих моделей столкновений.

Следует отметить, что в обеих моделях столкновений пороговое значение разности населенностей и амплитуда генерируемого поля существенным образом зависят от соотношений между константами γ_{ab} , ν_c и $\Delta\omega_D$. В случае сильных столкновений выражение для $D^0_{\text{пор}}$ (16) можно получить в явном виде как функцию $y = (\gamma_{ab} + \nu_c) / \Delta\omega_D$ для любых y . В случае слабых столкновений получить аналитическое решение удается лишь асимптотически, при малых и больших y (см. (25), (26)) и для малых E . Тем не менее из (16), (25) и (26) вытекает, что в рамках указанных приближений учет столкновений атомов активной среды ведет к росту порогового значения разности населенностей для обеих моделей столкновений при любых соотношениях между γ_{ab} , ν_c и $\Delta\omega_D$, а в случае $\nu_c \gg \gamma_{ab}$ наличие столкновений может быть определяющим.

В заключение выражаю благодарность проф. Ю. Л. Климонтовичу за постоянное внимание и интерес к работе.

СПИСОК ЛИТЕРАТУРЫ

- [1] Волновые и флуктуационные процессы в лазерах. Под ред. Ю. Л. Климонтовича. М.: Наука, 1974. [2] Климонтович Ю. Л. Кинетическая теория электромагнитных процессов. М.: Наука, 1980. [3] Раутиан С. Р., Собельман И. И., Юков Е. А. Возбуждение атомов и уширение спектральных линий. М.: Наука, 1979. [4] Асмарян Э. А., Хлыбов Г. Н. Вестн. Моск. ун-та. Физ. Астрон., 1972, 13, № 4, с. 407. [5] Фадеева В. Н., Терентьев Н. И. Таблицы значений интеграла вероятностей от комплексного аргумента. М.: Гостехиздат, 1974. [6] Никифоров А. Ф., Уваров В. Б. Специальные функции математической физики. М.: Наука, 1978.

Поступила в редакцию
27.05.83

ВЕСТН. МОСК. УН-ТА. СЕР. 3. ФИЗИКА. АСТРОНОМИЯ, 1984, т. 25, № 2

УДК 551.465.41

ВЛИЯНИЕ ВЕРТИКАЛЬНОГО РАСПРЕДЕЛЕНИЯ ПЛОТНОСТИ НА РАСПРЕДЕЛЕНИЕ СКОРОСТИ В ПРИДОННОМ ПЛОТНОСТНОМ ПОТОКЕ

В. Н. Анучин, Ю. Г. Пыркин

(кафедра физики моря и вод суши)

1. В последние годы в морской геофизике возрос интерес к изучению придонных плотностных потоков, которые характеризуются в первую очередь высокой энергоемкостью и крайне слабым взаимодействием с вышележащими слоями воды [1—3]. Придонные плотностные потоки могут создаваться как термохалинными факторами, так и взвешенной суспензией. Высокая энергоемкость и слабое взаимодействие с окружающей жидкостью позволяют этим потокам распространяться тонкими слоями вдоль дна на значительные расстояния, практически не меняя по толщине [4]. Совершенно очевидно, что для устойчивости подобного рода течений необходимы какие-то в сильной степени анизотропные распределения динамических характеристик в них. Экспериментально доказанным [5] проявлением анизотропных свойств яв-

ляется существование двух максимумов в вертикальном распределении турбулентного напряжения, один из которых находится непосредственно у дна, другой — в зоне раздела двух жидкостей разной плотности. Верхний максимум, как было высказано еще в работе [6], свидетельствует о сильном влиянии молекулярного переноса массы и импульса в зоне смешения.

В настоящей работе дается попытка физического объяснения возникновения второго максимума в распределении турбулентного напряжения, а также влияния вертикальной компоненты скорости течения придонного плотностного потока на его динамику.

Все рассуждения будут проводиться для течения более соленой жидкости в менее соленой вдоль наклонного дна; температура обеих жидкостей постоянна и одинакова.

Будем исходить из того, что жидкость несжимаема, тогда для плоского случая справедлива следующая система уравнений:

$$\rho \left(\frac{\partial u}{\partial t} + u \frac{\partial u}{\partial x} + w \frac{\partial u}{\partial z} \right) = - \frac{\partial p}{\partial x} + \frac{\partial}{\partial x} \mu \frac{\partial u}{\partial x} + \frac{\partial}{\partial z} \mu \frac{\partial u}{\partial z} + \rho g i, \quad (1)$$

$$\rho \left(\frac{\partial w}{\partial t} + u \frac{\partial w}{\partial x} + w \frac{\partial w}{\partial z} \right) = - \frac{\partial p}{\partial z} + \frac{\partial}{\partial x} \mu \frac{\partial w}{\partial x} + \frac{\partial}{\partial z} \mu \frac{\partial w}{\partial z} - \rho g j, \quad (2)$$

$$\frac{\partial \rho}{\partial t} + u \frac{\partial \rho}{\partial x} + w \frac{\partial \rho}{\partial z} = \frac{\partial}{\partial x} D \frac{\partial \rho}{\partial x} + \frac{\partial}{\partial z} D \frac{\partial \rho}{\partial z}, \quad (3)$$

$$\frac{\partial u}{\partial x} + \frac{\partial w}{\partial z} = 0, \quad (4)$$

где x — координата, направленная вдоль дна вниз по уклону, z — нормальна дну с началом на дне, ρ — плотность придонного потока, u , w — составляющие скорости течения жидкости по x и z соответственно, p — давление, μ — коэффициент динамической вязкости, g — ускорение силы тяжести, $i = \sin \alpha$, $j = \cos \alpha$, α — угол наклона дна, $\rho = \rho_0 + \Delta \rho(x, z, t)$, ρ_0 — плотность чистой воды, t — время, D — коэффициент молекулярной диффузии.

Рассмотрим теперь некоторые предельные случаи течения придонного плотностного потока, описываемого системой (1) — (4) при заданных соответствующих граничных и начальных условиях.

2. Выясним влияние распределения плотности на распределение вертикальной составляющей скорости течения, которая хотя и является величиной малой, однако при определенных условиях может иметь достаточно большие производные, которыми пренебрегать нельзя.

Будем считать течение стационарным и однородным вдоль x , тогда в приближении Буссинеска система уравнений (1) — (4) вырождается в следующую:

$$\rho w \frac{du}{dz} = \mu \frac{d^2 u}{dz^2} + \Delta \rho g i, \quad (5)$$

$$\rho w \frac{dw}{dz} = \mu \frac{d^2 w}{dz^2}, \quad (6)$$

$$w \frac{d\rho}{dz} = D \frac{d^2 \rho}{dz^2}. \quad (7)$$

В уравнениях (5) — (7) μ и D постоянны.

Отвлечемся пока от поиска выражения для горизонтальной составляющей и рассмотрим систему двух уравнений (6), (7). Считая

все производные непрерывными, а $d\rho/dz \neq 0$, т. е. полагая, что распределение $\rho(z)$ не имеет экстремумов, а может иметь только точки перегиба, и исключая из системы уравнений (6), (7) ω , получим следующее уравнение для $f = \Delta\rho$:

$$f^{IV} f^2 = f^{II} \left\{ \left[\frac{D(f + \rho_0)}{\mu} + 3 \right] f^{III} f^2 - \left[\frac{D(f + \rho_0)}{\mu} + 2 \right] f^{II^2} \right\}. \quad (8)$$

Римские цифры означают соответствующее дифференцирование по z .

Многочисленные экспериментальные данные показывают, что при $z = h$, где h — толщина придонного плотностного потока, в распределении f имеется перегиб.

Рассмотрим решение системы (6), (7) в δ -окрестности h (т. е. $z \in [h \pm \delta]$; $h \gg \delta$). В этой окрестности можно считать $f^{II} \rightarrow 0$, тогда уравнение (8) принимает вид

$$f^{IV} = 0. \quad (9)$$

Из уравнения (9) легко находится явный вид f :

$$f = C_1 z^3/6 + C_2 z^2/2 + C_3 z + C_4.$$

Для ω соответственно будет справедливым следующее выражение:

$$\omega = D(C_1 z + C_2)/(C_1 z^2/2 + C_2 z + C_3).$$

Константы C_1, C_2, C_3, C_4 найдем из следующих условий:

$$f|_{z=h-\delta} = \Delta\rho_0; \quad f|_{z=h+\delta} = f'|_{z=h+\delta} = f''|_{z=h} = 0.$$

Они соответственно равны

$$C_1 = \frac{3\Delta\rho_0}{2\delta^3}; \quad C_2 = -\frac{3\Delta\rho_0 h}{2\delta^3}; \quad C_3 = \frac{3\Delta\rho_0(h^2 - \delta^2)}{4\delta^3};$$

$$C_4 = \frac{\Delta\rho_0(h + \delta)(h\delta + 2\delta^2 - h^2)}{4\delta^3}.$$

Таким образом, мы получаем явный вид для ω и $f = \Delta\rho$:

$$f = \frac{\Delta\rho_0}{4\delta^3} [z^3 - 3hz^2 + 3(h^2 - \delta^2)z + (h + \delta)(h\delta + 2\delta^2 - h^2)], \quad (10)$$

$$\omega = \frac{2D(z - h)}{(z - h)^2 - \delta^2}. \quad (11)$$

Исследуем выражение (11) при $z = h$, $\omega = 0$. Очевидно, что в области, в которой рассматривается решение нашей системы, знаменатель в (11) всегда меньше нуля, так как $|z - h| < \delta$, числитель же в (11) при $z > h$ положителен, а при $z < h$ отрицателен. Таким образом,

$$\omega > 0, \quad h - \delta < z < h; \quad \omega < 0, \quad h < z < h + \delta.$$

Естественно, что выражение (11) справедливо лишь при

$$z \in [h \pm \varepsilon], \quad \text{где } \varepsilon < \delta.$$

В результате исследования малой окрестности точки перегиба в вертикальном распределении плотности придонного плотностного течения мы получили весьма любопытный результат о перемене в этой области знака вертикальной составляющей скорости. На рис. 1 графически изображены зависимости (10) и (11).

Изменение знака в распределении вертикальной составляющей скорости потока в зоне раздела двух жидкостей может быть объясне-

но, с одной стороны, наличием источника в этой зоне. Таким «источником» у нас является условие $\Delta\rho_0 = \text{const}$. Другое объяснение может быть дано с точки зрения переноса вихря. Так как поверхность раздела двух жидкостей является вихревой поверхностью, то при прохождении возмущения, которым в нашей модели служит головная часть потока, возникает система из двух вихрей. Один из них локализован в плотностном потоке, другой — над ним. Подобная картина наблюдалась в экспериментах Торпа [7]. Но в силу упрощений в нашей задаче мы получаем лишь перемену знака вертикальной составляющей скорости. Равенство нулю этой составляющей непосредственно при $z=h$ служит некоторым объяснением того, почему природные плотностные потоки распространяются на значительные расстояния, практически не меняясь по толщине.

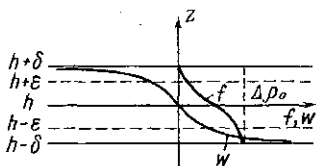


Рис. 1

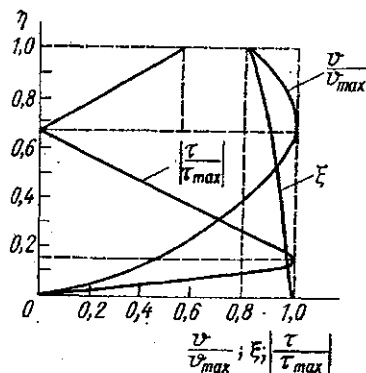


Рис. 2

3. Рассмотрим теперь механизм возникновения второго максимума в вертикальном распределении турбулентного напряжения. Полагаем, как и ранее, течение стационарным и однородным вдоль x и считаем справедливым допущение о плоскопараллельности течения, т. е.

$$u = \bar{u} + u'; \quad w = w'; \quad \rho = \rho_0 + \overline{\Delta\rho} + \rho'. \quad (12)$$

Подставляя условия (12) в исходную для наших предположений систему (5), (7) и проводя осреднение по правилам Рейнольдса, получаем

$$(\rho_0 + \overline{\Delta\rho}) \frac{d\overline{w'u'}}{dz} + \overline{\rho'w'} \frac{d\bar{u}}{dz} = \mu \frac{d^2\bar{u}}{dz^2} + \overline{\Delta\rho} g_i, \quad (13)$$

$$\frac{d\overline{w'\rho'}}{dz} = D \frac{d^2\overline{\Delta\rho}}{dz^2}. \quad (14)$$

Предполагаем далее, что

$$\overline{w'u'} = -k_1 \frac{d\bar{u}}{dz}; \quad \overline{w'\rho'} = -k_2 \frac{d\overline{\Delta\rho}}{dz}. \quad (15)$$

Подставляем (15) в систему (13), (14) и приводим ее к безразмерному виду. В результате получим

$$\frac{1}{\text{Re}} \frac{d^2v}{d\eta^2} + (A + \xi) \frac{1}{\text{Re}_1} \frac{d}{d\eta} \lambda_1 \frac{dv}{d\eta} + \frac{\lambda_2}{\text{Re}_2} \frac{d\xi}{d\eta} \frac{dv}{d\eta} + \frac{\xi}{\text{Fr}} = 0, \quad (16)$$

$$\frac{d}{d\eta} (1 + \lambda_3) \frac{d\xi}{d\eta} = 0, \quad (17)$$

где

$$\begin{aligned} v &= \bar{u}/u_*; \quad \xi = \overline{\Delta\rho}/\Delta\rho_0; \quad \Delta\rho_0 = \overline{\Delta\rho}|_{\eta=0}, \\ \eta &= z/h; \quad k_1 = k_{10}\lambda_1(\eta); \quad k_2 = k_{20}\lambda_2(\eta); \quad \lambda_3 = \frac{k_{20}}{D}\lambda_2; \\ v_0 &= \mu/\rho_0; \quad Re = u_*h/v_0; \quad A = \rho_0/\Delta\rho_0; \\ Re_1 &= u_*h/k_{10}; \quad Re_2 = u_*h/k_{20}; \quad Fr = u_*^2/(ghi), \end{aligned}$$

u_* — некоторая характеристическая скорость, h — толщина придонного плотностного потока.

Будем находить решение системы (16), (17) в области $\eta \in [0, 1]$. Решение в вышележащей области получается путем сшивания на границе $\eta = 1$. Граничные условия выбираем в виде

$$\begin{aligned} \xi|_{\eta=0} &= 1; \quad \xi|_{\eta=1} = 0,8; \\ v|_{\eta=0} &= 0; \quad v|_{\eta=1} = 0,8. \end{aligned} \quad (18)$$

Для проверки справедливости основного предположения о влиянии пульсаций плотности на распределение средних характеристик потока решим систему (16), (17) с условиями (18) для простейшего случая

$$k_1 = k_2 = k_0 = \text{const}; \quad \lambda_1 = \lambda_2 = 1; \quad Re_1 = Re_2 = Re.$$

Для ξ получаем

$$\xi = 1 - 0,2\eta.$$

Для нахождения v получаем уравнение

$$(2 + A - 0,2\eta)v'' - 0,2v' + (1 - 0,2\eta)Re/Fr = 0. \quad (19)$$

Решение уравнения (19) имеет вид

$$v = C_1 \ln(2 + A - 0,2\eta) + \frac{(2 + A - 0,2\eta)^2}{16} - \frac{(1 + A)Re}{0,04Fr}(2 + A - 0,2\eta) + C_2. \quad (20)$$

Константы C_1 и C_2 находятся из граничных условий (18). Для турбулентного напряжения будет справедливо выражение

$$\tau = -(A + \xi)k_0 \frac{dv}{d\eta} = (0,2\eta - A - 1)k_0 \frac{dv}{d\eta}.$$

Как следует из (20), распределение модуля турбулентного напряжения имеет два максимума: один у дна, другой непосредственно на границе $\eta = 1$.

На рис. 2 представлены графики для v , ξ и $|\tau|$, причем v и τ нормированы на их максимальные значения. Численные значения k_0 , Re , Fr и A задавались из натуральных наблюдений [8]. Как следует из рис. 2, в случае линейной стратификации второй максимум турбулентного напряжения определяется неоднородностью плотности. И поэтому при решении задач динамики придонных плотностных потоков необходим учет корреляции между пульсациями плотности и скорости.

Подводя итог вышеизложенному, можно с уверенностью сказать, что явления на границе раздела потоков разной плотности являются весьма интересными и требуют дополнительных экспериментальных и теоретических исследований.

СПИСОК ЛИТЕРАТУРЫ

- [1] Armi L., D'Asaro E. J. Geophys. Res., 1980, 85, N 1, p. 469. [2] Zenk W. Int. Coun. Explor. of the Sea Hydrogr. Count. S. M./C:5, 1981, p. 7. [3] Lacombe H. La Houille Blanche, 1965, N 1, p. 38. [4] Пыркин Ю. Г., Пивоваров А. А., Хунджа Г. Г. ДАН СССР, 1968, 179, № 3. [5] Georgiev B. V. In: Intern. Symp. of Stratified flows. Novosibirsk, 1972, p. 9. [6] Анучин В. Н., Гусев А. М., Пыркин Ю. Г. Метеорология и гидрология, 1974, № 2, с. 85. [7] Thorpe S. A. J. Fluid Mech., 1973, 61, N 4. [8] Пыркин Ю. Г., Петров В. П., Самолюбов Б. И. Гидротехн. строительство, 1977, № 4.

Поступила в редакцию
27.05.83

ВЕСТН. МОСК. УН-ТА. СЕР. 3. ФИЗИКА. АСТРОНОМИЯ, 1984, т. 25, № 2

УДК 536.421.1:537.312.62, 538.115

ВЫСОКОТЕМПЕРАТУРНАЯ СВЕРХПРОВОДЯЩАЯ ФАЗА В СПЛАВАХ РЕДКОЗЕМЕЛЬНЫХ МЕТАЛЛОВ

А. В. Ведяев, О. Э. Молодых, М. А. Савченко, А. В. Стефанович

(кафедра магнетизма)

В последнее время экспериментально было обнаружено [1, 2], что в ряде соединений редкоземельных металлов температура перехода в антиферромагнитное состояние $T_N \approx 10$ К превышает температуру сверхпроводящего перехода $T_C \approx 2$ К. При этом имеет место сосуществование сверхпроводящей и магнитной фаз.

В работах [3—6] были исследованы фазовые диаграммы, экспериментально полученные в [7, 8], и определен характер перехода в сверхпроводящее и магнитное состояния [6].

Настоящая работа посвящена исследованию возможности возникновения высокотемпературной сверхпроводящей фазы в сплавах редкоземельных металлов с алюминием. На основе экспериментов по рассеянию нейтронов в сплавах TbAl—NdAl [9] было установлено, что магнитная структура этих веществ характеризуется сложным антиферромагнитным упорядочением с сильной анизотропией в базисной плоскости x, y (рис. 1). Температуры Нееля для TbAl и NdAl соответственно равны 72 и 29 К.

Магнитная структура сплава ThAl—NdAl (пространственная группа $R_{2ab'cm'}$ — орторомбическая симметрия) может быть представлена с помощью четырех векторов:

$$m = \frac{1}{2} (S_1 + S_2 + S_3 + S_4) \rightarrow 0,$$

$$l_1 = \frac{1}{2} (S_1 - S_2 + S_3 - S_4) \rightarrow 0,$$

$$l_2 = \frac{1}{2} (S_1 + S_2 - S_3 - S_4),$$

$$l_3 = \frac{1}{2} (S_1 - S_2 - S_3 + S_4).$$

В свою очередь, векторы антиферромагнетизма l_2, l_3 осциллируют в плоскости x, y , поэтому

$$l_2(x, y) = l_{2x} e^{i\pi x} + l_{2y} e^{i\pi(x+y)},$$

$$l_3(x, y) = l_{3x} e^{i\pi(x+y)} + l_{3y} e^{i\pi x}.$$